

Grechetto b (clone VCR 3)



D'Onofrio C., Scalabrelli G., 2015. Grechetto b (clone VCR 3), var Pignoletto. In: Italian Vitis Database, www.vitisdb.it, ISSN 2282-006X release 17/07/2015, ultimo aggiorn. 17/07/2015 url http://vitisdb.it/accessions/show/16543

Informazioni gestite da

Dipartimento di Scienze Agrarie, Alimentari e Agro-ambientali (DiSAAA-a) - Università di Pisa

Ringraziamenti

Fondazione AGER (AGER Fundation)

Informazioni generali

nome Grechetto b (clone VCR 3) nazione di selezione Italia provincia di selezione Perugia

codice ITA419-2019 regione di selezione Umbria località di selezione Todi

istituzione custode Dipartimento di Scienze Agrarie, Alimentari e Agro-ambientali (DiSAAA-a) - Università di Pisa

collezione Colignola (DiSAAA-a) - San Giuliano Terme (PI)

Varietà & clone

tipo di origine spontanea specie Vitis vinifera varietà Pignoletto

genere Vitis sub specie sativa

codice della varietà IVD-var_354

clone I-VCR 3 trueness to type accertato con rilievi morfologici e microsatelliti

si

Trueness to type

True-name

confermato

▶bibliografia correlata (1)

| autori | anno | titolo | rivista | citazione |
|---|------|--|----------------------|-----------|
| Costacurta A., Calò A., Antonacci D., Catalano V., Crespan M., Carraro R., Giust M, Agio L., Ostan M., Di Stefano R., Borsa D., | 2004 | La caratterizzazione di greci e grechetti a bacca bianca coltivati in Italia. | Riv. Vitic. Enol. | 3: 3-20 |

Trueness to type accertato con rilievi morfologici (ampelografici)

accertamento con rilievi morfologici (ampelografici) accertato

▶bibliografia correlata (1)

| autori | anno | titolo | rivista | citazione |
|--|------|-------------|-------------------|-----------|
| Faccioli F., Marangoni B., Cosmo I., Calò A. | 1978 | Pignoletto. | Riv. Vitic. Enol. | N 8 |

Trueness to type accertato con microsatelliti

accertamento con microsatelliti accertato

loci confrontati

9

loci identici

9

discrepanze

n.d.

Profilo microsatellite standardizzato

| loci: | | loci predefiniti (9) | | | | | | | | | | | | | | | | |
|-------------|-----|--|-----|-----|-----|-----|-----|------|-----|-----|-----|-----|-----|-----|-----|-----|-----|-----|
| locus SSR: | VV | VVS2 VVMD5 VVMD7 VVMD27 VrZAG62 VrZAG79 VVMD25 VVMD28 VVMD32 | | | | | | ID32 | | | | | | | | | | |
| allele: | A1 | A2 | A1 | A2 | A1 | A2 | A1 | A2 | A1 | A2 | A1 | A2 | A1 | A2 | A1 | A2 | A1 | A2 |
| dimensione: | 133 | 145 | 225 | 225 | 249 | 263 | 185 | 189 | 200 | 202 | 243 | 251 | 242 | 242 | 239 | 239 | 253 | 259 |

Immagini









germoglio

germoglio pagina superiore

germoglio pagina inferiore

foglia









foglia pagina superiore

foglia pagina inferiore

seno peziolare

grappolo





acino

vinacciolo

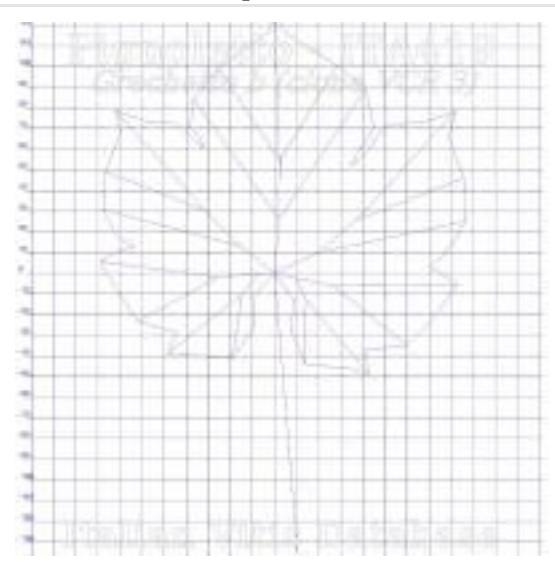
Ampelografia

| OIV | descrizione | | valore | immagini |
|-----|---|-----|-----------------------------|------------------------|
| 001 | Giovane germoglio: apertura dell'apice | 5 | completamente aperto | |
| 003 | Giovane germoglio: intensità della pigmentazione antocianica dei peli striscianti dell'apice | 1/3 | nulla o molto bassa / bassa | Pignoletto - ITA419 |
| 004 | Giovane germoglio: densità dei peli striscianti dell'apice | 5 | media | |
| 006 | Germoglio: portamento (prima della legatura) | 1/3 | eretto / semi-eretto | |
| 007 | Germoglio: colore del lato dorsale degli internodi | 1 | verde | |
| 008 | Germoglio: colore del lato ventrale degli internodi | 1 | verde | |
| 016 | Germoglio: numero di viticci consecutivi | 1 | 2 o meno | Italian Vitik Dalabase |
| 051 | Foglia giovane: colore della pagina superiore del lembo (4 a foglia) | 3 | bronzato | |
| 053 | Foglia giovane: densità peli striscianti tra le nervature principali della pagina inferiore (4a foglia) | 5 | media | - |
| 067 | Foglia adulta: forma del lembo | 1/4 | cordiforme / orbicolare | |
| 068 | Foglia adulta: numero dei lobi | 3 | cinque | 1 |
| 070 | Foglia adulta: distribuzione pigmentazione antocianica nervature principali pagina superiore | 1 | assente | |
| 072 | Foglia adulta: depressioni del lembo | 1 | assenti o molto deboli | |
| 074 | Foglia adulta: profilo del lembo in sezione trasversale | 1 | piano | |

© VitisDb 2010-2016 - ISSN 2282-006x

| | © VitisDb 2010- | 2016 - I | SSN 2282-006x | |
|-------|---|----------|---|--|
| 075 | Foglia adulta: bollositá della pagina superiore del lembo | 3 | bassa | Pignolettos ITA419 |
| 076 | Foglia adulta: forma dei denti | 4 | un lato concavo, un lato convesso | Gregietti bit ini VRV |
| 079 | Foglia adulta: grado di apertura / sovrapposizione dei bordi del seno peziolare | 3 | aperto | |
| 080 | Foglia adulta: forma della base del seno peziolare | 3 | a V | |
| 081-1 | Foglia adulta: denti del seno peziolare | 1 | assenti | |
| 081-2 | Foglia adulta: base del seno peziolare delimitata dalla nervatura | 1 | non delimitata | WAR OF THE STATE O |
| 083-2 | Foglia adulta: denti nei seni laterali superori | 1 | assenti | |
| 084 | Foglia adulta: densità dei peli striscianti tra le nervature principali sulla pagina inferiore del lembo | 1 | nulla o molto bassa | Italian Vitis Database |
| 087 | Foglia adulta: densità dei peli eretti sulle nervature principali della pagina inferiore del lembo | 1 | nulla o molto bassa | |
| 094 | Foglia adulta: profondità dei seni laterali superiori | 3 | poco profondo | |
| 151 | Fiore: organi sessuali | 3 | stami completamente sviluppati e gineceo completamente sviluppato | |
| 152 | Infiorescenza: livello d'inserzione della 1 a infiorescenza | 2 | 3° e 4° nodo | |
| 155 | Tralcio: fertilità delle gemme basali (gemme 1-3) | 7/9 | elevata (1,5-1,7) / molto alta (>1,9) | |
| 202 | Grappolo: lunghezza (escluso il peduncolo) | 5 | medio | |
| 204 | Grappolo: compattezza | 5 / 7 | medio / compatto | Manager of Taylor |
| 206 | Grappolo: lunghezza del peduncolo del grappolo principale | 3 | corto | San |
| 208 | Grappolo: forma | 2 | conico | |
| 209 | Grappolo: numero di ali del grappolo principale | 2 | 1-2 ali | Italian Vitis Database |
| 220 | Acino: lunghezza | 3/5 | corto / medio | T4 |
| 221 | Acino: larghezza | 3 | stretto | Pignoletto = ITA-619 Grachetto & (glone VCR 3) |
| 223 | Acino: forma | 4 | ellissoidale stretto | Crossing a famous year of |
| 225 | Acino: colore della buccia | 1 | verde giallo | |
| 231 | Acino: intensità della pigmentazione antocianica della polpa | 1 | nulla o molto debole | |
| 235 | Acino: consistenza della polpa | 2 | leggermente soda | |
| 236 | Acino: particolarità dell'aroma | 1 | nessuna | 0 |
| 241 | Acino: sviluppo dei vinaccioli | 3 | completo | * |
| | | | | Relian Vida Dabahasa |

Ampelometria



foglia ampelometrica

OIV

| OIV | PDF | descrizione | | valore |
|-----|-----|--|---|-----------------------------|
| 601 | PDF | Foglia adulta: lunghezza della nervatura N1 | 5 | media (135 mm) |
| 602 | PDF | Foglia adulta: lunghezza della nervatura N2 | 5 | media (105 mm) |
| 603 | PDF | Foglia adulta: lunghezza della nervatura N3 | 5 | media (75 mm) |
| 604 | PDF | Foglia adulta: lunghezza della nervatura N4 | 9 | molto lunga (55 mm e oltre) |
| 605 | PDF | Foglia adulta: distanza dal seno peziolare al seno laterale superiore | 5 | media (70 mm) |
| 606 | PDF | Foglia adulta: distanza dal seno peziolare al seno laterale inferiore | 7 | lunga (75 mm) |
| 607 | PDF | Foglia adulta: angolo tra N1 e N2 misurato alla prima biforcazione | 7 | grande (56°-70°) |
| 608 | PDF | Foglia adulta: angolo tra N2 e N3 misurato alla prima biforcazione | 3 | piccolo (30°-45°) |
| 609 | PDF | Foglia adulta: angolo tra N3 e N4 misurato alla prima biforcazione | 5 | medio (46°-55°) |
| 610 | PDF | Foglia adulta: angolo tra N3 e la tangente tra il punto peziolare e l'estremità N5 | 7 | grande (56°-70°) |
| 612 | PDF | Foglia adulta: lunghezza del dente di N2 | 3 | corto (10 mm) |
| 613 | PDF | Foglia adulta: larghezza del dente di N2 | 5 | medio (14 mm) |
| 614 | PDF | Foglia adulta: lunghezza del dente di N4 | 3 | corto (10 mm) |
| 615 | PDF | Foglia adulta: larghezza del dente di N4 | 5 | medio (14 mm) |
| 617 | PDF | Foglia adulta: distanza tra l'estremitá di N2 e l'estremitá della prima nervatura secondaria di N2 | 5 | media (46-55 mm) |

Superampelo

| distanze | | |
|---|---------|---------------------|
| descrittore | valore | deviazione standard |
| Distanza dal seno peziolare al seno inferiore destro | 70.900 | 5.600 |
| Distanza dal seno peziolare al seno inferiore sinistro | 64.900 | 8.200 |
| Distanza dal seno peziolare al seno superiore destro | 62.400 | 10.400 |
| Distanza dal seno peziolare al seno superiore sinistro | 68.600 | 15.600 |
| Nervatura N3, lunghezza dal seno peziolare alla nervatura N4 | 10.000 | 2.400 |
| Nervatura N3', lunghezza dal seno peziolare alla nervatura N4' | 7.900 | 2.200 |
| Lunghezza della nervatura N5 | 31.600 | 3.500 |
| Lunghezza della nervatura N5' | 31.800 | 5.600 |
| Lunghezza della nervatura N4 | 57.200 | 4.400 |
| Lunghezza della nervatura N4' | 56.200 | 6.500 |
| Distanza tra punto peziolare ed estremità della nervatura N4 | 65.100 | 5.000 |
| Distanza tra punto peziolare ed estremità della nervatura N4' | 62.400 | 6.500 |
| Larghezza della foglia | 166.000 | 15.400 |
| Lunghezza della foglia | 175.700 | 13.100 |
| Lunghezza del picciolo | 135.900 | 15.800 |
| Lunghezza della foglia compreso il picciolo | 260.900 | 22.400 |
| Distanza tra gli estremi delle nervature N2 e N2' | 154.300 | 15.800 |
| Lunghezza della nervatura N1 | 125.100 | 10.000 |
| Distanza tra gli estremi delle nervature N4 e N4' | 91.900 | 12.400 |
| Distanza tra gli estremi delle nervature N3 e N3' | 162.600 | 14.200 |
| Lunghezza della nervatura N2 | 114.000 | 8.800 |
| Larghezza del seno peziolare / Distanza tra i punti SP e SP' | -17.900 | 11.500 |
| Lunghezza della nervatura N3 | 83.700 | 7.400 |
| Lunghezza della nervatura N2' | 107.200 | 8.600 |
| Distanza tra estremità di N2 e estremità della prima ramificazione laterale di N2 | 58.200 | 11.600 |
| Lunghezza della nervatura N3' | 79.400 | 9.700 |
| Distanza tra estremità di N2' e estremità della prima ramificazione laterale di N2' | 51.400 | 13.100 |

| angoli | | |
|---|--------|---------------------|
| descrittore | valore | deviazione standaro |
| Angolo tra N3 e la tangente tra il punto peziolare e l'estremità N5 | 68.700 | 8.100 |
| Angolo tra I e I' con centro in N1 | 59.500 | 4.300 |
| Angolo tra N3' e la tangente tra il punto peziolare e l'estremità N5' | 69.000 | 9.000 |
| Angolo tra N1 e N2 misurato alla prima biforcazione | 59.000 | 4.200 |
| Angolo tra N2 e N3 misurato alla prima biforcazione | 41.200 | 6.200 |
| Angolo tra N1 e N2' misurato alla prima biforcazione | 54.100 | 5.100 |
| Angolo tra N3 e N4 alla prima biforcazione di N3 | 54.200 | 6.600 |
| Angolo tra N2' e N3' misurato alla prima biforcazione | 41.600 | 8.400 |
| Angolo tra N1 e N2 misurato agli estremi delle nervature | 46.200 | 5.700 |
| Angolo tra N3' e N4' | 50.200 | 5.300 |
| Angolo tra N2 e N3 misurato agli estremi delle nervature | 47.400 | 3.700 |
| Angolo tra N1 e N2' misurato agli estremi delle nervature | 42.300 | 5.700 |
| Angolo tra N3 e N4 misurato agli estremi delle nervature | 45.100 | 4.500 |
| Angolo tra N2' e N3' misurato agli estremi delle nervature | 43.500 | 3.000 |
| Angolo di apertura del seno peziolare misurato a SP e SP' | 35.200 | 23.200 |
| Angolo tra N3' e N4' misurato agli estremi delle nervature | 42.800 | 5.200 |
| Angolo tra S e S' con centro in N1 | 52.200 | 10.900 |
| Angolo tra D e D' con centro in N1 | 91.400 | 6.300 |

© VitisDb 2010-2016 - ISSN 2282-006x

| rapporti | | |
|---|-----------|------------------------|
| descrittore | valore | deviazione standard |
| Prodotto di Lunghezza e larghezza della foglia | 29300.000 | 4517.000 |
| Rapporto tra la lunghezza del picciolo OP e la lunghezza della nervatura N1 | 1.088 | 0.109 |
| Rapporto tra Lunghezza e larghezza della foglia | 1.061 | 0.066 |
| Rapporto tra la distanza dal seno la lunghezza della nervatura N2 | 0.547 | 0.076 |
| Media della base dei denti del lato sinistro | 7.066 | 1.251 |
| Media della base dei denti del lato destro | 6.992 | 1.896 |
| Media dell'altezza dei denti del lato sinistro | 4.879 | 0.727 |
| Rapporto tra l'altezza e la base del dente all'estremità della nervatura N4' | 0.653 | 0.106 |
| Media dell'altezza dei denti del lato destro | 5.307 | 0.727 |
| Rapporto tra l'altezza e la base del dente all'estremità della nervatura N2' | 0.950 | 0.286 |
| Rapporto tra l'altezza e la base del dente all'estremità della nervatura N4 | 0.702 | 0.085 |
| Rapporto tra l'altezza e la base dei denti del lato sinistro | 0.704 | 0.129 |
| Rapporto tra l'altezza e la base del dente all'estremità della nervatura N2 | 0.962 | 0.122 |
| Rapporto tra la somma degli angoli a' + b' e la somma della distanza tra il seno peziolare e il seno superiore sinistro OS' e il seno peziolare e il seno inferiore sinistro OI' | 0.013 | 0.003 |
| Rapporto tra l'altezza e la base dei denti del lato destro | 0.824 | 0.381 |
| Rapporto tra la lunghezza della nervatura N5' e la lunghezza della nervatura N1 | 0.256 | 0.046 |
| Rapporto tra la somma degli angoli a + b e la somma della distanza tra il seno peziolare e il seno superiore destro OS e il seno peziolare e il seno inferiore destro OI | 0.013 | 0.002 |
| Rapporto tra la lunghezza della nervatura N4' e la lunghezza della nervatura N1 | 0.450 | 0.046 |
| Rapporto tra la lunghezza della nervatura N5 e la lunghezza della nervatura N1 | 0.253 | 0.028 |
| Rapporto tra la lunghezza della nervatura N3' e la lunghezza della nervatura N1 | 0.635 | 0.066 |
| Rapporto tra la lunghezza della nervatura N4 e la lunghezza della nervatura N1 | 0.459 | 0.035 |
| Rapporto tra la lunghezza della nervatura N2' e la lunghezza della nervatura N1 | 0.859 | 0.058 |
| Rapporto tra la lunghezza della nervatura N3 e la lunghezza della nervatura N1 | 0.671 | 0.058 |
| Rapporto tra la distanza dal seno peziolare al seno inferiore sinistro OI' e la lunghezza della nervatura N3' | 0.826 | 0.111 |
| Rapporto tra la lunghezza della nervatura N2 e la lunghezza della nervatura N1 | 0.913 | 0.044 |
| Rapporto tra la distanza dal seno peziolare la lunghezza della nervatura N2' | 0.638 | 0.128 |
| Rapporto tra la distanza dal seno peziolare al seno inferiore destro OI e la lunghezza della nervatura N3 | 0.850 | 0.056 |